

Önüretimli Betonarme Çerçeve Binalarda Deprem Yükü Azaltma Katsayılarının Araştırılması

INVESTIGATION OF RESPONSE MODIFICATION FACTORS FOR PRECAST CONCRETE BUILDINGS WITH FRAMES

ABSTRACT

Moment-resisting beam-column connections including emulative and mechanical components (welding) are widely used solutions in precast construction practice in Turkey. Hybrid connections are constructed by welding of corbel plates to beam end plates where beam longitudinal rebars are welded, and casting of concrete through the designated gaps in column elements at site. This study presents the development of a numerical model for simulating the cyclic behaviour of hybrid connectionsto be used to assess seismic performance of multi-storey precast concrete structures. The numerical model includes truss-based elements for beam-column connections and fiber-based elements for beams and columns. In this scope, response modification factors of precast concrete moment frames are investigated by performing static pushover and incremental dynamic analyses on three- and five-storey frames. Response modification factors for precast moment frames are obtained by the ratio of the maximum to yield peak ground accelerations.

ÖZET

Ülkemizdeki önüretimli betonarme binalarda ıslak ve mekanik (kaynaklı) bileşenleri içeren hibrit kolon-kiriş bağlantıları yaygın bir kullanım alanına sahiptir. Hibrit bağlantılar, kiriş boyu-

na donatılarının kaynaklandığı kiriş uç plakalarının kısa konsol plakasına kaynaklanması ve kolonda bırakılan boşluklara sahada beton dökümü ile oluşturulmaktadır. Bu çalışmada, çok katlı, hibrit bağlantıları bulunan önüretimli binaların sismik performansının belirlenmesinde kullanılabilecek bir sayısal benzeşim modeli sunulmuştur. Hibrit bağlantılar için kurulan sayısal model, birleşim bölgesi için doğrusal olmayan kafes kiriş, birleşim bölgesi dışındaki kolon ve kirişlerde ise kesit hücresi (lf) modelleme yaklaşımını içermektedir. Çalışma kapsamında, önüretimli betonarme çerçevelerin deprem yükü azaltma katsayıları, üç ve beş katlı çerçevelerin doğrusal olmayan statik itme ve artımsal dinamik analizleri ile araştırılmıştır. Önüretimli çerçeve tipi binaların deprem yükü azaltma katsayıları, artımsal dinamik analizlerde ulaşılan maksimum yer ivmesinin akma anındaki maksimum yer ivmesine oranı olarak belirlenmiştir.

1. GİRİŞ

Önüretimli betonarme yapılar gerek ülkemizde, gerekse Avrupa'da yapı kalitesi ve üretim sürecindeki hızlılık bakımından sağladığı avantajlarla endüstriyel yapılarda uygulanmaktadır. Önüretimli betonarme yapıların çok katlı yapılarda uygulanması, yeterli dayanım, süneklik ve rijitliğe sahip moment aktarabilen bağlantıların geliştirilmesine bağlıdır. Önüretimli moment aktarabilen kolon-kiriş bağlantılarının geliştirilmesi için yönetmeliklerde önerilecek bağlantının deneysel ya da analitik yöntemlerle monolitik sisteme



eşdeğerliğinin belirlenmesi gereği belirtilmiştir. Ülkemizdeki önüretimli yapılarda yaygın olarak uygulanan hibrit kolon-kiriş bağlantıları (Negro ve Toniolo, 2012), kirişte negatif moment sürekliliği yerinde dökme tamamlayıcı beton ile, pozitif moment sürekliliği ise kiriş boyuna donatılarının kaynaklanması ile sağlanmaktadır (Girgin v.d., 2017a).

Önüretimli betonarme yapıların ve yapı elemanlarının depreme dayanıklı tasa-

rımı için yönetmeliklerde dayanıma ve şekildeğitmeye göre tasarım esasları belirlenmiştir (TBDY, 2017). Dayanıma göre tasarımda *deprem yükü azaltma katsayısunın* (R_a) belirlenmesi, binaya etkiyen eşdeğer deprem yüklerinin hesaplanabilmesi için temel parametredir. Karadoğan v.d. (2015) çalışmasında tek katlı, mafsallı bağlantıları bulunan öncüretimli binaların kolonlarının yerdeğiştirme taleplerinin ve deprem yükü azaltma katsayısunın belirlenebilmesi için hesap adımları önermiştir. Zafar (2009) çalışmasında, moment aktaran betonarme çerçeveye tipi yapılarda deprem yükü azaltma katsayısunın belirlenmesi için artımsal dinamik analiz (IDA) yaklaşımı uygulanmıştır. Deprem yükü azaltma katsayısunı ($R(T)$), artımsal dinamik analizin uygunluğu en büyük yer ivmesinin, sistemin akmaya ulaştığı andaki yer ivmesine oranlanması ile elde edilmişdir (Zafar, 2009).

Yapısal sistemlerin değerlendirilmesinde uygulanacak sayısal modellerin yapıda gelişebilecek hasar modları ile rıjitlik, enerji tüketimi ve dayanım karakteristiklerini yansıtılmasını gereklidir. Sayısal modelleme yaklaşımı; yıgılı plastisite, yayılı plastisite, makro modeller ve kafes sistem modelleri olmak üzere dört ana başlıkta toplanabilir.

Kafes kiriş analogisi betonarme elemanlarda kesme etkilerinin modellenebilmesi amacı ile geliştirilmiştir. Betonarme perdelerin çevrimisel davranışının sayısal benzeştirilmesinde Lu ve Panagiotou (2014) tarafından sonlu eleman boyut etkilerini dikkate alan kafes sistem modeli geliştirilmiştir. Moharrami v.d. (2015) kesme etkilerine karşı yetersiz kolonlarda agrega kenetlenmesinin kesmeye katkısını dikkate alan kafes sistem modeli önermiştir. Bowers (2014) çalışmasında, sünekliği yetersiz betonarme çerçevelerde

kolon-kiriş birleşim bölgelerinde kafes sistem modelini; birleşim bölgesindeki kolon ve kiriş elemanlarında ise yayılı plastisite yaklaşımını uygulamıştır.

Bu çalışmada, moment aktaran hibrit kolon-kiriş bağlantıları bulunan öncüretimli betonarme çerçevelerin deprem yükü azaltma katsayıları araştırılmıştır. Bu amaçla, üç ve beş katlı çerçeveye modelleri hibrit bağlantılar için önerilen sayısal modele bağlı olarak oluşturulmuştur. Süreklik düzeyi yüksek öncüretimli betonarme binaların deprem yükü azaltma katsayıları, doğrusal olmayan statik itme ve artımsal dinamik analizler uygulanarak değerlendirilmiştir.

2. DENEYSEL ÇALIŞMA

İslak-kaynaklı (hibrit) öncüretimli kolon-kiriş bağlantılarının çevrimisel davranışlarının iyileştirilmesi kapsamında 1 adet monolitik (referans), 5 adet iç öncüretimli kolon-kiriş bağlantı testi gerçekleştirilmiştir. Deney numuneleri süreklik düzeyi yüksek öncüretimli betonarme bir binanın iç kolon-kiriş birleşimlerini temsil etmektedir (GırGIN v.d., 2017a). Çalışma kapsamında SP3-R kolon-kiriş bağlantı numunesinin test sonuçları sunulmuştur. SP3-R numunesinin boyutları ve donatı detayları Şekil 1'de verilmektedir. Betonarme kiriş 300 mm genişliğinde ve 350 mm yüksekliğinde öncüretimli; üst kısmı ise yerinde dökme 150 mm'lik tamamlayıcı betondan oluşmaktadır (Şekil 1a). Öncüretimli kolon kare kesitli ve 400 mm boyutlarında olup, 300 mm uzunluğundaki kısa konsol ve birleşim panelinin üstünde tamamlayıcı beton için bırakılan 150 mm'lik boşluktan oluşmaktadır. Kiriş alt boyuna donatıları kiriş uç plakasına kaynaklanmaktadır; kiriş üst boyuna donatısı ise birleşim panelinin üst kısmındaki boşluktan geçirilerek moment aktarımı sağlanmaktadır (Şekil 1c). Kolon-kiriş bağlantı

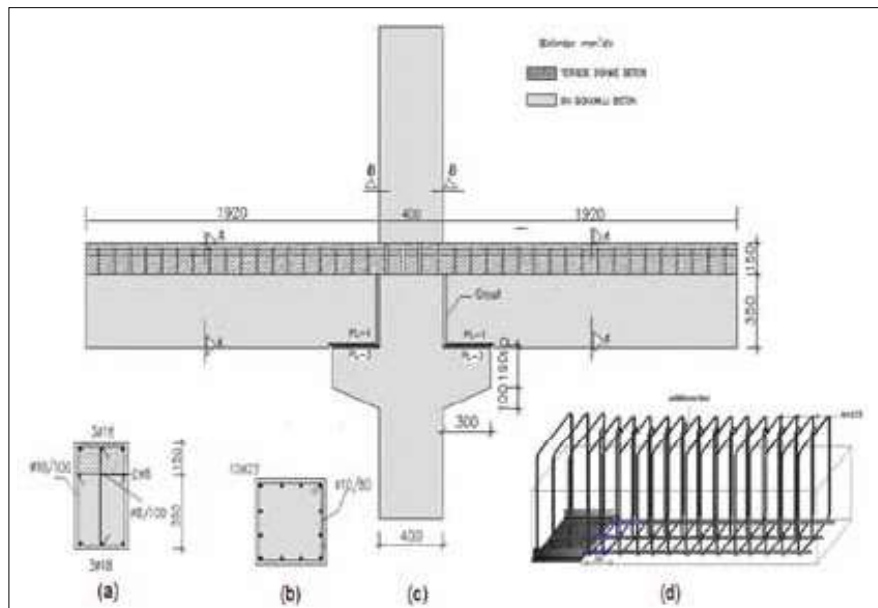


Doç. Dr. İbrahim Serkan MISIR

Dokuz Eylül Üniversitesi İnşaat Müh. Bölümü'nden 1999 yılında mezun oldu. 1999 - 2001 tarihleri arasında Marmara depremi sonrası hasar tespit ve güçlendirme projesi hazırlanması görevlerinde bulundu. Mayıs 2004-2016 tarihleri arasında DEÜ İnşaat Müh. Bölümü Yapı Müh. Laboratuvarının kurucusu üye olarak Uzman kadrosunda görev yaptı. Nisan 2016'dan itibaren DEÜ İnşaat Müh. Bölümü'nde Doçent ünvanı ile görev yapmaktadır. 2011 yılında "Betonarme Yapıların Deprem Davranışının İyileştirilmesinde Çimento Şerbeti Emdirilmiş Lifli Beton (SIFCON) Kullanımı" tezi ile doktor unvanı aldı. 2014 yılında TUBİTAK 2219 yurtdışı araştırma bursu ile Virginia Politeknik ve Eyalet Üniversitesi/ABD'de doktora sonrası araştırmalarda bulundu. Çalışma alanları: deneysel yapı mekaniği ve dinamiği, yapıların onarımı ve güçlendirilmesi, betonarme ve yığma yapıların analitik modellenmesi, performansa dayalı tasarım.

testleri sırasında, plakaya kaynaklı kiriş boyuna donatılarının düşük birim deformasyonlarında kopma meydana geldiği belirlenmiştir. Kaynaklı boyuna donatılardaki birim deformasyon taleplerinin azaltılması amacıyla boyuna donatı çapının 10 katı kadar bölgede aderans bozulması ($L_u = 10d_b$) uygulanmıştır.

Deney günü test edilen küp numune dayanımları silindir dayanımına çevrilerek kolon elemanlar için 45 MPa, kiriş elemanlar içinse 40 MPa olarak belirlenmiştir. Tamamlayıcı betonun



Şekil 1. SP3-R kolon-kiriş bağlantısı (a) Kiriş ve (b) Kolon en kesitleri, (c) Bağlantı numunesi, (d) Aderans bozulması uygulanması (Girgin v.d., 2017a).

deney günü silindir numune dayanımı 35 MPa'dır. Kiriş boyuna donatılarının akma dayanımı 461 MPa, maksimum dayanımı 596 MPa olarak belirlenmiştir.

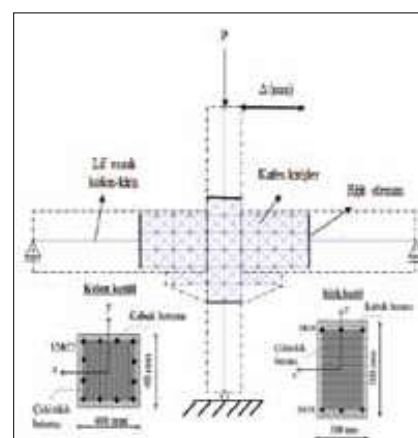
Kolona deney süresince eksenel yük kapasitesinin % 8'i düzeyinde basınç yükü uygulanmıştır. Testler sırasında, yerdeğiştirmeler ACI 374 (2005)'e uygun olmak üzere kolon tepe ucuna tersinir-tekrarlı üçer adet tam çevrim olarak ötelenme oranları cinsinden uygulanmıştır.

Deneyler numunelerin elastik ötesi davranışlarının geniş bir bölgede ortaya konabilmesi için % 4 görelî kat ötelenme oranına kadar sürdürmüştür. SP3-R numunesinde ilk eğilme kesme çatıtlakları % 0.35 ve % 1 ötelenme oranlarında gözlenmiştir. Birleşimdeki ilk diyagonal çatıtlaklar % 1.4 ötelenme oranında gelişmiştir. İtme ve çekme yönlerinde maksimum dayanıma % 2.2 ötelenme oranında ulaşılmış, % 3.5 ötelenme oranının ikinci çevrimine kadar dayanımda azalma gözlenmemiştir. SP3-R numunesinde donatı

burkulması engellenebilmiştir. Kiriş alt plakasına kaynaklı boyuna donatılarda gelişen birim deformasyonlar aderans bozulması ile azaltılabilmiştir.

3. KOLON-KİRİŞ BİRLEŞİM BÖLGESİ SAYISAL MODELİ

Sayısal model çalışmaları, yapı ve deprem mühendisliğinde kullanılan OpenSees sonlu elemanlar yazılımı ile gerçekleştirilmiştir (McKenna v.d., 2015). Hibrit kolon-kiriş bağlantıları



Şekil 2. Önüretimli kolon-kiriş birleşim bölgesi için kurulan sayısal model (Girgin v.d., 2017b).



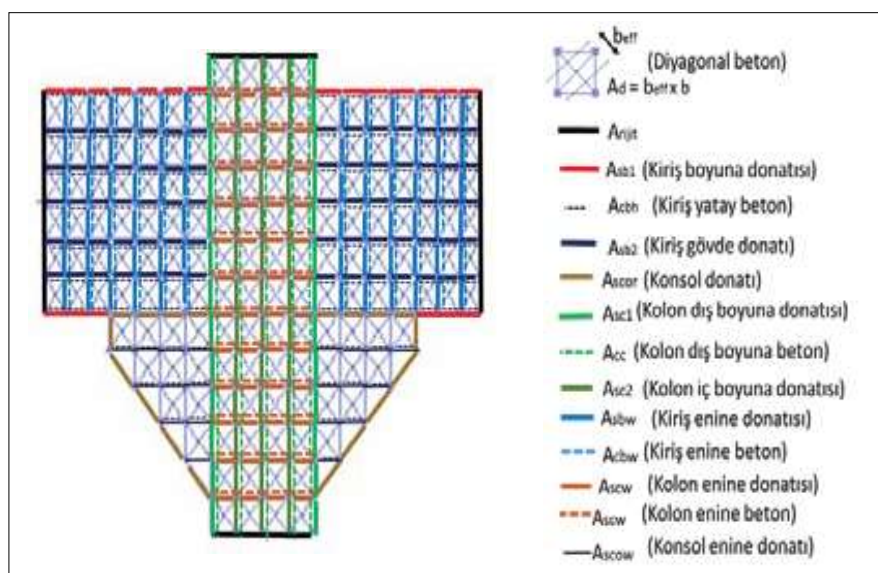
Prof. Dr. Serap KAHRAMAN

Lisans eğitimi Orta Doğu Teknik Üniversitesi, yüksek lisans ve doktora eğitimini Dokuz Eylül Üniversitesi'nde tamamladı. Akademik çalışmalarını Dokuz Eylül Üniversitesi İnşaat Müh. Bölümü'nde sürdürmektedir.

Mukavemet, ileri yapı statiği, sonlu elemanlar yöntemi, plak teorisi derslerini vermektedir, deneysel yapı mekanığı, deprem riski, deprem hasarlarının azaltılması, betonarme yapıların deprem performanslarının iyileştirilmesi, kullanıcı dostu güçlendirme yöntemleri, yapı sağlığının gözlenmesi, mühendislik eğitimi üzerine çalışmaktadır.

icin oluşturulan sayısal modelde bölgesinde doğrusal olmayan kafes kiriş modelleme yaklaşımı esas alınmıştır. Birleşim bölgesinde bulunan kolon ve kirişler ise doğrusal olmayan kesit hücresi (lf) esaslı kolon-kiriş elemanı ile tanımlanmıştır. Kolon ve kirişler kuvvet esaslı doğrusal olmayan eleman ve iki integrasyon noktası ile tanımlanmış olup kafes sisteme rıjt elemanlarıla bağlanmıştır (Şekil 2).

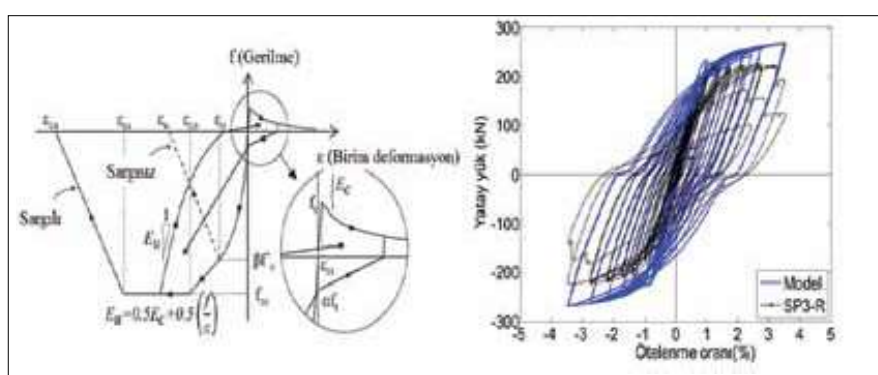
Birleşim bölgesindeki kafes kiriş modeli, kolon ve kirişteki enine ve boyuna donatıların yerleşimine göre belirlenmiştir. Kafes sistemi oluşturan çubuk elemanlar Şekil 3'de verilmektedir ve diyagonal elemanların yatayla yaptığı açı (θ_d) 42° 'dir. Kiriş gövdesindeki yatay donatılar gövde donatı alanlarının çubuk sayısına bölünmesi ile elde edilmiştir. Kafes sistem elemanlarının alanları Tablo 1'de verilmektedir.



Şekil 3. Kafes kiriş modeli ve çubuk elemanları (Girgin ve Kahraman, 2016).

Tablo 1. Kafes kiriş modelinde çubuk eleman alanları (mm²)

A _{sb1}	A _{cbh}	A _{sb2}	A _{scor}	A _{sc1}	A _{cc}	A _{sc2}	A _{sbw}	A _{cbw}	A _{scw}	A _{ccw}	A _{scow}
763.4	48000	78.5	1270	1520.5	6400.0	760.3	235.6	4800.0	157.1	28000	226.2



Şekil 4. (a) Beton modelleri için gerilme-birim şekildeğiştirme ilişkileri, (b) Deneysel veri ile sayısal modelin kıyaslanması

Sayısal modellerdeki beton kafes elemanları beton kesit hücreleri için Lu ve Panagiotou (2014) tarafından geliştirilen *Concretewbeta* beton modeli uygulanmış olup gerilme-birim deformasyon ilişkileri Şekil 4a'da verilmektedir. Beton başlangıç elastisite modülü, $E_c = 5000\sqrt{f_c}$ (MPa) ile hesaplanmıştır. Basınç bölgesinde ulaşılan basınç dayanımı sonrasında azalan kısımda

ϵ_u değeri Lu ve Panagiotou (2014) tarafından verilen yönteme göre belirlenmiştir. Sargılı betonun basınç dayanımı ve en büyük birim şekildeğiştirmesi Mander (1988) beton modeline göre hesaplanmıştır.

Yatay ve düşeydeki beton kafes elemanlarının çekme dayanımı, $f_t = 0.33\sqrt{f_c}$ (MPa) olarak alınmıştır. Çekme dayanımına ulaşık-

Doç. Dr. Özgür ÖZÇELİK

1999 yılında Dokuz Eylül Üniversitesinden İnşaat Mühendisi, 2002 yılında aynı üniversiteden Yüksek Mühendis ünvanı aldı. Aynı yıl University of California, San Diego'da doktora çalışmalarına başladı. 2008 yılında bu üniversiteden doktor ünvanını alarak mezun oldu. Dokuz Eylül Üniversitesinde, Aralık 2009 - Ocak 2014 tarihleri arasında yardımcı doçent, Ocak 2014'ten beri de doçent olarak akademik çalışmalarını sürdürmektedir.

Araştırma alanları: deneysel yapı dinamiği, yapı dinamiği, deprem mühendisliği, mühendislik yapılarının sistem tanımlaması, yapı sağlığının izlenmesi (structural health monitoring), operasyonel modal analiz, istatiksel ve adaptive sinyal işleme, sonlu eleman yöntemleri, zemin-temel yapı etkileşimi, deprem simülatörü (sarsma tablosu) dinamiği, doğrusal olmayan yapı-sarsma tablosu dynamik etkileşimi, deprem simülatörü modellenmesi, dizayn ve kontrolü, büyük ölçekli sarsma tablosu testleri şeklindedir.

tan sonrası azalma, Stevens (1991) tarafından verilen çekme güçlenmesi denklemine göre belirlenmiştir. Diyagonal beton kafes elemanlarında ise çekme dayanımı dikkate alınmamıştır. Diyagonal beton kafes elemanlarında beton basıncının enine doğrultudaki çekme birim deformasyonlarına bağlı değişimi analizin her adımıda azaltma katsayı ile çarpımı ile elde edilmiştir. Kolon ve kirişteki enine ve boyuna donatılarda ise OpenSees'de yer alan Re-

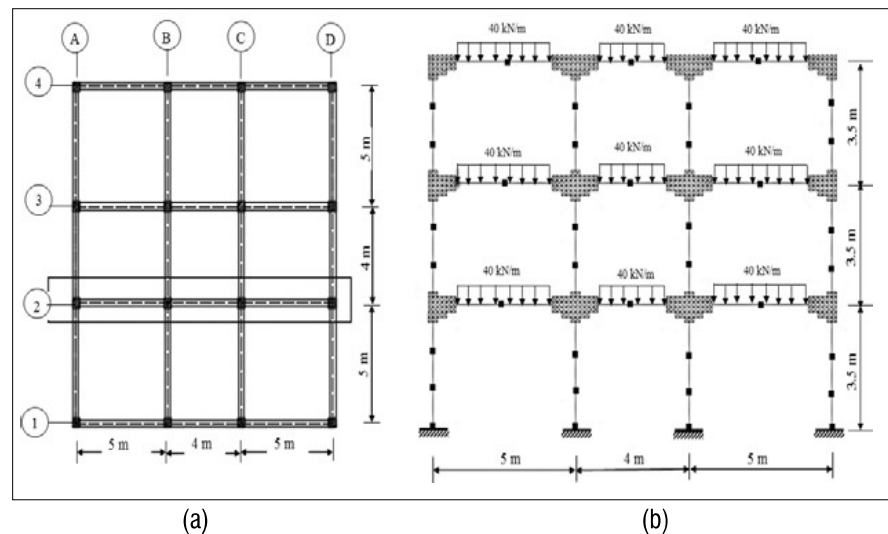
inforcingSteel donatı malzeme modeli tanımlanmıştır.

SP3-R kolon-kiriş bağlantısı için deneysel çalışmada elde edilen ve sayısal modelde hesaplanan tepe yükü- yerdeğiştirme grafikleri Şekil 4b'de verilmiştir. Sayısal model % 3.5 ötelenme oranının 2. çevrimine kadar deneysel çalışmada elde edilen dayanıma yakın değerdedir. Sayısal modelde maksimum ulaşılan yük ile deneysel olarak belirlenen yük değeri oranı 1.15 olarak belirlenmiştir.

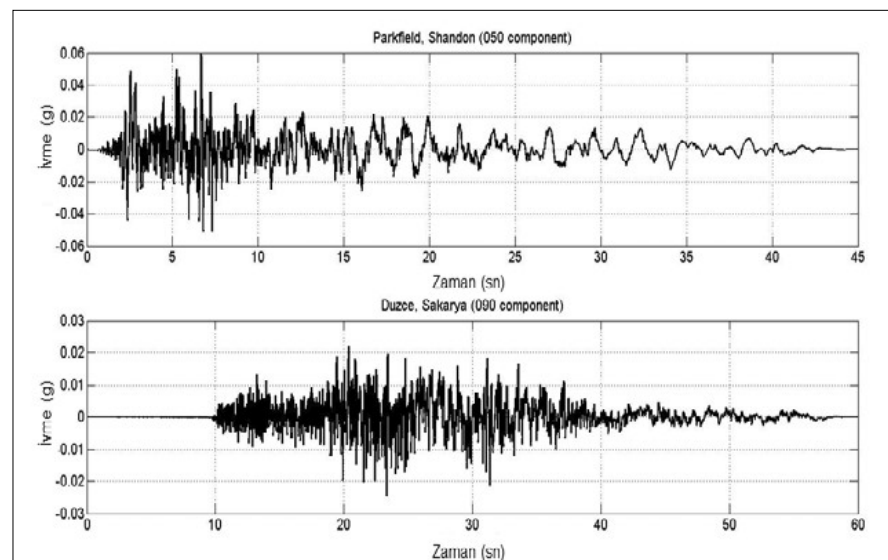
4. ÖNÜRETİMLİ ÇERÇEVELERİN DOĞRUSAL OLМАYAN YAPISAL ANALİZLERİ

4.1 Yapısal Analiz Modelleri

Önüretimli betonarme çerçeve tipi binaların deprem yükü azaltma katsayıları üç katlı (M3) ve beş katlı (M5) çerçevelerin analizleri ile araştırılmıştır (Girgin v.d., 2017b). İş merkezine ait plan ve incelenen üç açıklıklı çerçeve Şekil 5a'da verilmektedir. 2-2 aksı için Şekil 5b'de verilen yapısal analiz modelinde kolon, kiriş ve bağlantı boyutları ile donatı detayları Şekil 1'de verilen numune detayları dikkate alınmıştır. Kirişlerde hesap yükü 40 kN/m olarak hesaplanmıştır. Kiriş ve kolonlar için iki integrasyon noktası bulunan kuvvet esaslı kolon-kiriş elemanları tanımlanmıştır. Hibrit kolon-kiriş birleşim bölgesi, Şekil 3'de verilen sayısal model ile temsil edilmektedir. Modelerin 1. ve 2. modları için %5 kritik sönüüm oranına karşılık gelen Rayleigh sönüümü uygulanmıştır. Kat kütleleri kolon-kiriş birleşimlerine kat düzeylerinde tanımlanmıştır. Üç katlı (M3) ve beş katlı (M5) modeller için hâkim moda ait periyotları 0.34 sn ve 0.51 sn olarak hesaplanmıştır. Önüretimli çerçevelerin sismik performanslarının belirlenebilmesi için doğrusal olma-



Şekil 5. (a) Önüretimli bir betonarme binanın planı, (b) Üç katlı (M3) çerçevenin yapısal analiz modeli (Girgin v.d., 2017b)



Şekil 6. Artımsal dinamik analizler (IDA) için kullanılan ölçeklenmemiş deprem kayıtları

yan artımsal dinamik analizler ve statik analizler gerçekleştirilmiştir.

4.2 Artımsal Dinamik Analiz Yöntemi

Betonarme yapıların sismik performansının değerlendirilmesinde doğrusal olmayan statik itme analizleri ve doğrusal olmayan dinamik analizler yaygın olarak uygulanmaktadır. Artımsal dinamik analiz (IDA) yaklaşımı, maksimum göreli kat ötelenme oranı (θ_{max}), kesit dönmesi gibi hasar ölçütlerini binanın hâkim moduna ait

spektral ivme değeri ($S_a(T_1; \%5)$) gibi şiddet ölçütleri ile ilişkilendirmek üzere Vamvatsikos ve Cornell (2002) tarafından geliştirilen bir yöntemdir. Artımsal dinamik analiz yönteminde, bir ya da birden fazla ölçeklenmemiş (kaydedilmiş) deprem kaydı seçilmektedir. Yapının ilk moduna karşılık gelen spektral ivme, $S_a(T_1; \%5)$ elastik bölgeden başlayıp (0.05g, 0.1g v.b.) artacak şekilde seçilen ölçeklenmemiş deprem kayıtları ölçük faktörü ile

arttırılır. Arttırılan her deprem kaydı için gerçekleştirilen dinamik analizlerde elde edilen maksimum görelî kat ötelenme oranları (θ_{max}) ve spektral ivme $S_a(T_1; 5\%)$ değerlerinin çizilmesi ile artımsal dinamik analiz (IDA) eğrileri elde edilir. Artımsal dinamik analizler, eğrîde ardışık noktalar arasındaki eğimin, elastik bölgedeki eğimin %20'sinden az değerine ulaşıcaya kadar sürdürülmüştür (FEMA 350, 2000). Bu çalışmada, çerçevelerin sismik performansının belirlenebilmesi için Şekil 6'da verilen Düzce (1999) ve Parkfield (1966) deprem kayıtları kullanılmıştır (PEER, 2017).

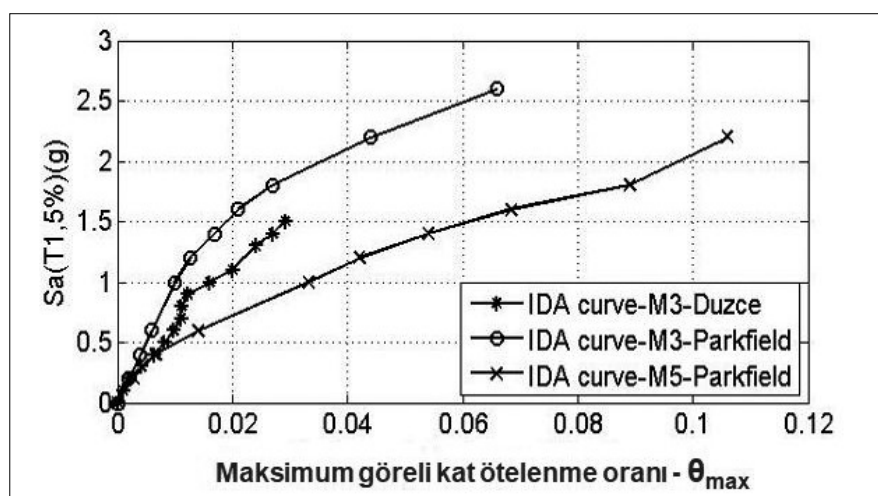
4.3 Analiz Sonuçları

3 ve 5 katlı yapısal analiz modellerinde (M3-M5) 35 adet doğrusal olmayan artımsal dinamik analiz gerçekleştirilmişdir. Analizlerde ulaşılan maksimum görelî kat ötelenme oranı (θ_{max}) ile spektral ivme değerlerinin $S_a(T_1; 5\%)$ birleştirilmesi ile Şekil 7'de verilen artımsal dinamik analiz (IDA) eğrileri elde edilmiştir. M3 ve M5 yapısal analiz modelleri için artımsal dinamik analizlerle, statik itme analizinden elde edilen taban kesme kuvveti-tepe yerdeğişitirmesi ilişkileri Şekil 8'de verilmektedir. Deprem yükü azaltma katsayıları $-R(T)$, Zafar (2009) çalışmasında göz önüne alınan yaklaşma göre belirlenmiştir. Buna göre deprem yükü azaltma katsayısı, en büyük yer ivmesinin (PGA_y), sistemin akma anındaki yer ivmesine (PGA_u) olmak üzere

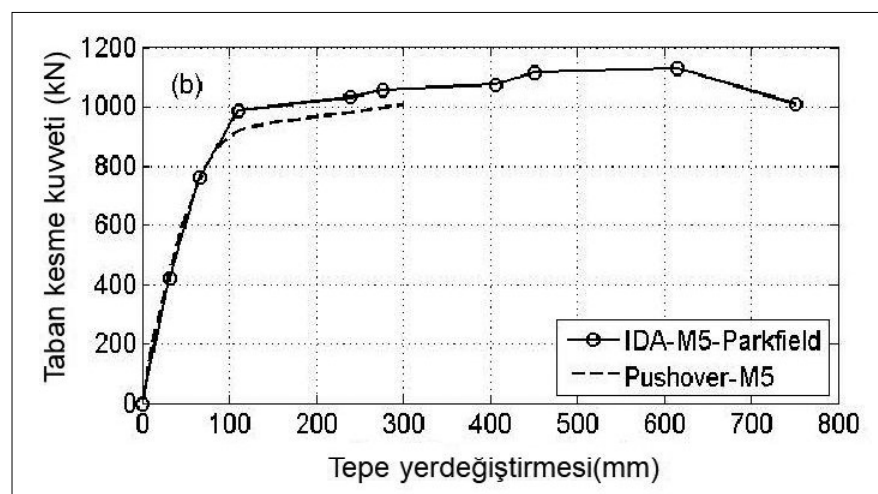
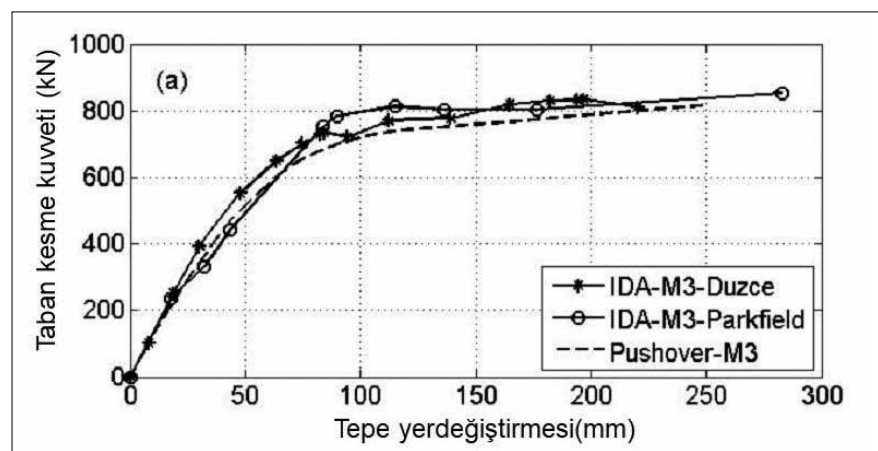
$$R(T) = \frac{PGA_u}{PGA_y} \quad (1)$$

denklemi ile belirlenmiştir.

Şekil 8'de verilen taban kesme kuvveti- tepe yerdeğişitirmesi ilişkilerinde akma yerdeğişitirmesi FEMA P-395 (2011)'e göre maksimum kesme kuvvetinin (V_{bmax}) %40'ına karşılık gelen yük değeri ile maksimum dayanımın



Şekil 7. Yapısal analiz modelleri için artımsal dinamik analiz (IDA) eğrileri



Şekil 8. (a) 3 katlı ve (b) 5 katlı yapısal analiz modelleri için taban kesme kuvveti- tepe yerdeğişitirmesi ilişkileri

kesitirilmesi ile belirlenmiştir. Akma yerdeğişitmesine karşılık gelen güçlü yer ivmesi (PGA_y), maksimum yer

ivmesi (PGA_u) ve hesaplanan deprem yükü azaltma katsayıları ($R(T)$) Tablo 2'de verilmiştir.

Tablo 2. Yapısal analiz modelleri için hesaplanan deprem yükü azaltma katsayıları (R(T))

Deprem kaydı	3 katlı çerçeveye (M3)			5 katlı çerçeveye (M5)			R(T)-TBDY (2017)
	PGA _y (g)	PGA _u (g)	R(T)	PGA ^y (g)	PGA ^u (g)	R(T)	
Parkfield	0.5	2,19	4.38	0.672	3.49	5.19	5
Duzce	0.401	2.01	5.02	-	-	-	

5. SONUÇLAR

Bu çalışmada önüretimli betonarme moment aktarabilen hibrit bağlantılarından meydana gelen binaların deprem yükü azaltma katsayıları araştırılmıştır. Hibrit (mekanik-kaynaklı) kolon-kiriş bağlantıları için kafes kiriş ve kesit hücresi (lfif) esaslı bir sayısal benzeşim modeli önerilmiştir. Sayısal benzeşim modeli, kolon-kiriş bağlantı deney sonuçları ile kıyaslandığında çevrimisel davranışları yeterli yaklaşıkla temsil edebildiği belirlenmiştir. 3 ve 5 katlı betonarme binalar için çerçeve modelleri oluşturularak doğrusal olmayan statik itme ve artımsal dinamik analizleri OpenSees yapısal analiz programı kullanılarak gerçekleştirilmiştir. Artımsal dinamik analizler için ölçeklenmemiş deprem kayıtları binaların spektral ivme değerlerine göre ölçek faktörleri ile artırılmıştır. Önüretimli betonarme çerçeveler için elde edilen deprem yükü azaltma katsayılarının, Türkiye Bina Deprem Yönetmeliğinde (2018) üstte ıslak-altta kaynaklı bağlantıları (MAB3) bulunan çerçeveler için verilen değerlerle uyumlu olduğu belirlenmiştir.

KAYNAKLAR

- American Concrete Institute (2005). ACI 374.1.05 Acceptance Criteria for Moment Frames Based on Structural Testing and Commentary. Michigan, U.S.A
- Bowers, J.T. (2014). Nonlinear cyclic truss model for beam-column joints of non-ductile RC frames. M.Sc.
- thesis, Virginia Polytechnic and State University.
- FEMA 350 (2000). Recommended seismic design criteria for new steel moment-frame buildings. Federal Emergency Management Agency, 2000.
- FEMA P-795 (2011). Quantification of Building Seismic Performance Factors: Component Equivalency Methodology, Federal Emergency Management Agency.
- Girgin, S.C., Kahraman, S. (2016). Üstte ıslak-altta kaynaklı kolon-kiriş bağlantılarının kafes kiriş analogisi ile modellenmesi, *Beton Prefabrikasyon*, 119, s:5-11.
- Girgin, S.C., Misir, I.S. and Kahraman, S. (2017a). Experimental cyclic behavior of precast hybrid beam-column connections with welded components. *International Journal of Concrete Structures and Materials*, 11(2), 229-245.
- Girgin, S.C., Misir, I.S. and Kahraman, S. (2017b). Seismic performance factors for precast buildings with hybrid beam-column connections. *Procedia Engineering*, 199, 3540-3545.
- Karadoğan, H. F., Bal, I.E., Yüksel, E., Yuce, S.Z., Durgun, Y. and Soydan, C. (2015). An algorithm to justify the design of single storey precast structures. Perspectives on European Earthquake Engineering and Seismology. Springer International Publishing, 207-226.
- Lu, Y. and Panagiotou, M. (2014). Three-dimensional cyclic beam-truss model for non-planar reinforced concrete walls, *Journal of Structural Engineering*, 140(3).
- Mander, J.B., Priestley, M.J.N., ve Park, R. (1988). Theoretical stress-strain model for confined concrete, *Journal of Structural Division (ASCE)*, 114 (8), 1804-1826.
- McKenna, F., Fenves, G. L., Scott, M. H., and Jeremic, B. (2015). Open system for earthquake engineering simulation. <http://opensees.berkeley.edu>.
- Moharrami, M., Koutromanos, I., Panagiotou, M., and Girgin, S. C. (2015). Analysis of shear-dominated RC columns using the nonlinear truss analogy. *Earthquake Engineering & Structural Dynamics*, 44(5), 677-694.
- Negro, P., and Toniolo G.(2012). Design guidelines for connections of precast structures under seismic actions. Report EUR 25377 EN, European Commission.
- PEER (2017). Pasific Earthquake Engineering Research Center Ground Motion Database. <http://ngawest2.berkeley.edu/>
- Stevens, N. J., Uzumeri, S. M., Collins, M. P., and Will, T. G. (1991). Constitutive model for reinforced concrete finite element analysis, *ACI Structural Journal*, 99 (10), 2109-2122.
- Türkiye Bina Deprem Yönetmeliği (TBDY). (2018)
- Vamvatsikos, D., and Allin Cornell, C. (2002). Incremental dynamic analysis. *Earthquake Engineering & Structural Dynamics* 31.3: 491-514.
- Zafar, Adeel (2009). Response modification factor of reinforced concrete moment resisting frames in developing countries. MSc Thesis. University of Illinois at Urbana-Champaign.